

# MODELISATIONS DU MOUVEMENT DES BANCS DE POISSONS

FELLAH Hicham

Num :5936

1<sup>er</sup> novembre 2020

# Plan de l'étude générale

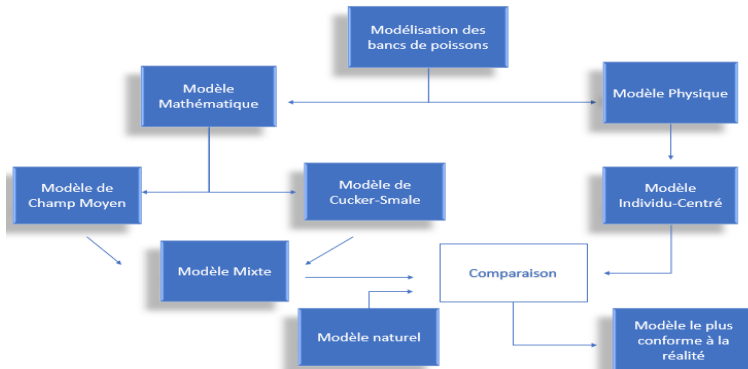


FIGURE – Plan de notre étude

# Modèle Physique

## Modèle individu centré

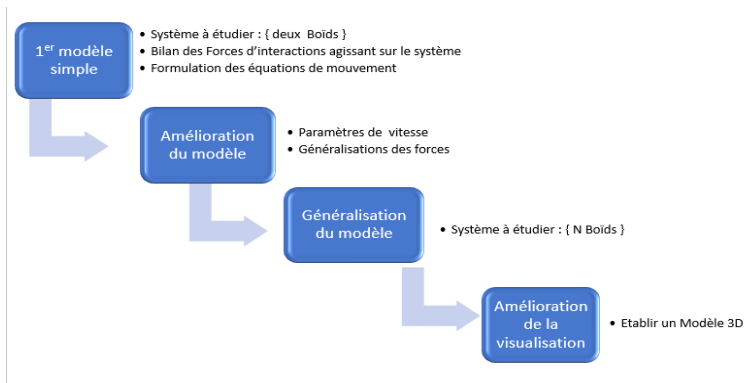
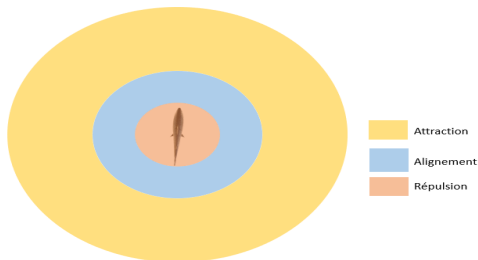


FIGURE – Stratégie de mon étude

# Préambule

## Les lois fondamentales de Craig Reynolds

- **Zone de Répulsion** : Assurer une distance convenable entre les poissons .
- **Zone d'Alignement** : Alignement dans une direction privilégiée par le banc.
- **Zone d'attraction** : Assurer le rapprochement nécessaire à la création du banc.



# 1<sup>er</sup> modèle simple

- Soit deux Boids  $(A, B) \in \mathbb{R}^2$  :
- $A_0 = \begin{pmatrix} -10 \\ 3 \end{pmatrix}$   $B_0 = \begin{pmatrix} 10 \\ 0 \end{pmatrix}$  et  $\vec{V}_{A_0} = \begin{pmatrix} V_{X_{A_0}} \\ V_{Y_{A_0}} \end{pmatrix}$   $\vec{V}_{B_0} = \begin{pmatrix} V_{X_{B_0}} \\ V_{Y_{B_0}} \end{pmatrix}$
- Position à un instant donné  $P(t) = \begin{pmatrix} X(t) \\ Y(t) \end{pmatrix}$
- Barycentre  $Bary(t) = \frac{(P_{A_t} + P_{B_t})}{2}$
- Model discret : on pose le pas  $dt = 1$  donc :  $P(t+1) = P(t) + \vec{V}_t$
- Force d'attraction en A :  $\vec{F}_{attr_A}(t) = \lambda \cdot \overrightarrow{(Bary(t) - P_{A_t})}$
- Force de répulsion en A :  $\vec{F}_{rep_A}(t) = -\alpha \cdot \frac{\overrightarrow{(Bary(t) - P_{A_t})}}{\|Bary(t) - P_{A_t}\|^2}$
- Dans la suite on pose la masse d'un Boids  $m = 1$

- le PFD appliqué respectivement sur les Boids A et B :

$$\begin{cases} P_{At} = P_{At-1} + \overrightarrow{V_{At-1}} \\ P_{Bt} = P_{Bt-1} + \overrightarrow{V_{Bt-1}} \\ \overrightarrow{V_{At}} = \overrightarrow{V_{At-1}} + \left( \lambda - \alpha \cdot \frac{4}{\|\overrightarrow{P_{Bt-1}} - \overrightarrow{P_{At-1}}\|^2} \right) \cdot \frac{\overrightarrow{(P_{Bt-1} - P_{At-1})}}{2} \\ \overrightarrow{V_{Bt}} = \overrightarrow{V_{Bt-1}} + \left( \lambda - \alpha \cdot \frac{4}{\|\overrightarrow{P_{At-1}} - \overrightarrow{P_{Bt-1}}\|^2} \right) \cdot \frac{\overrightarrow{(P_{At-1} - P_{Bt-1})}}{2} \end{cases}$$

- stockage dans un tableau numpy.array les positions des Boids à chaque itération<sup>1</sup>

# Simulations

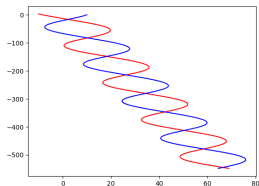


FIGURE –  $\lambda \approx \alpha = 0.05$

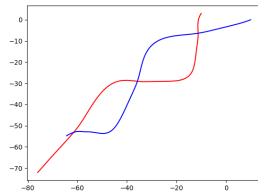


FIGURE –  $\lambda \ll \alpha$

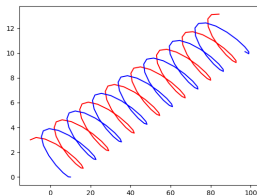


FIGURE –  $\alpha \ll \lambda$

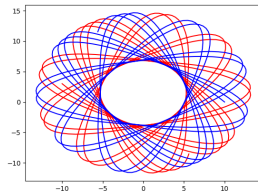


FIGURE –  $V_{0A} = -V_{0B}, \alpha = 0, \lambda = 0.05$

# Commentaires

- Présence des oscillations
- la loi d'alignement n'est pas respecté
- Modèle loin de la réalité : absence de convergence
- Modèle des zones d'influences n'est pas respecté



# Amélioration du modèle

- Paramètres de vitesse :
  - Elimination des oscillations par décroissance de vitesse
  - Création d'une vitesse limite
- Généralisation des forces
  - Améliorer la force d'attraction en une force Gausienne
  - Ajouter un obstacle à éviter ( ex : poteau )

# Paramètres de Vitesse

- Ajout d'un coefficient de frein  $K > 1$  :

$$\begin{cases} \vec{V}_{A_t} = \frac{\vec{V}_{A_{t-1}}}{K} + \left( \lambda - \alpha \cdot \frac{4}{\|\vec{P}_{B_{t-1}} - \vec{P}_{A_{t-1}}\|^2} \right) \cdot \frac{(\vec{P}_{B_{t-1}} - \vec{P}_{A_{t-1}})}{2} \\ \vec{V}_{B_t} = \frac{\vec{V}_{B_{t-1}}}{K} + \left( \lambda - \alpha \cdot \frac{4}{\|\vec{P}_{A_{t-1}} - \vec{P}_{B_{t-1}}\|^2} \right) \cdot \frac{(\vec{P}_{A_{t-1}} - \vec{P}_{B_{t-1}})}{2} \end{cases}$$

- stockage dans un tableau numpy.array les positions des Boids à chaque itération<sup>2</sup>
- on prend  $K = 1.01$

## 2. Programme en Annexe B.

# Simulation et Commentaire

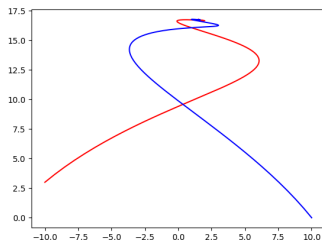


FIGURE –  $\lambda = 0.05 \gg \alpha$

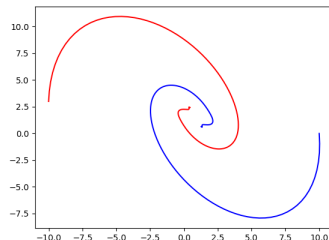


FIGURE –  $\lambda \approx \alpha = 0.05$

- Convergence des vitesses vers 0
- Présence d'une position d'équilibre :

$$\left( \lambda - \alpha \cdot \frac{4}{\|\vec{P_{A_{t-1}}} - \vec{P_{B_{t-1}}}\|^2} \right) = 0 \iff \|\vec{P_{A_{t-1}}} - \vec{P_{B_{t-1}}}\| = 2\sqrt{\frac{\alpha}{\lambda}}$$

- Ajout d'une vitesse limite  $\vec{V}_{lim}$  de direction  $\vec{u}_{lim} = \frac{\vec{V}_{lim}}{\|\vec{V}_{lim}\|}$  <sup>3</sup> :

$$\vec{V}_{A_t} = \begin{cases} \frac{\vec{V}_{A_{t-1}}}{K} + \vec{F}_{attr_{A_{t-1}}} + \vec{F}_{rep_{A_{t-1}}} & \text{si } \|\vec{V}_{A_t}\| \geq \|\vec{V}_{lim}\| \\ \frac{\vec{V}_{A_{t-1}}}{K} + \vec{F}_{attr_{A_{t-1}}} + \vec{F}_{rep_{A_{t-1}}} + \left( \|\vec{V}_{lim}\| - \|\vec{V}_{A_t}\| \right) \cdot \vec{u}_{lim} & \text{si } \|\vec{V}_{A_t}\| < \|\vec{V}_{lim}\| \end{cases}$$

$$\vec{V}_{B_t} = \begin{cases} \frac{\vec{V}_{B_{t-1}}}{K} + \vec{F}_{attr_{B_{t-1}}} + \vec{F}_{rep_{B_{t-1}}} & \text{si } \|\vec{V}_{B_t}\| \geq \|\vec{V}_{lim}\| \\ \frac{\vec{V}_{B_{t-1}}}{K} + \vec{F}_{attr_{B_{t-1}}} + \vec{F}_{rep_{B_{t-1}}} + \left( \|\vec{V}_{lim}\| - \|\vec{V}_{B_t}\| \right) \cdot \vec{u}_{lim} & \text{si } \|\vec{V}_{B_t}\| < \|\vec{V}_{lim}\| \end{cases}$$

### 3. Programme en Annexe C.

# Simulations

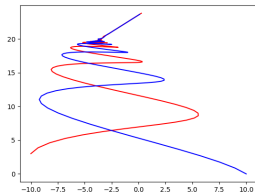


FIGURE –  $\lambda = 0.05 \gg \alpha$

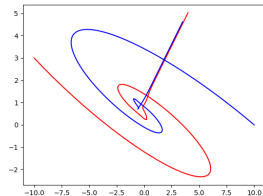


FIGURE –  $\lambda \approx \alpha = 0.05$

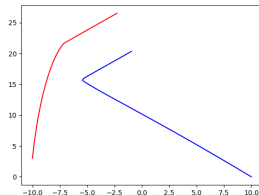


FIGURE –  $\lambda \ll \alpha = 0.05$

# Commentaires

- comportement attractif (suivit rapproché) pour  $\lambda \gg \alpha$  ou  $\lambda \approx \alpha$
- suivi éloigné pour  $\lambda \ll \alpha$
- la loi d'alignement est vérifiée

# Généralisation des forces

- La force d'attraction améliorée en une force Guassienne de la forme<sup>4</sup> :

$$\overrightarrow{F_{attr_{A_t}}} = \lambda_1 \cdot e^{-\left(\frac{\|\overrightarrow{Bary(t) - P_{A_t}} - \frac{R_0}{2}\|^2}{\lambda_2}\right)} \cdot \left(\frac{\overrightarrow{Bary(t) - P_{A_t}}}{\|\overrightarrow{Bary(t) - P_{A_t}}\|}\right)$$

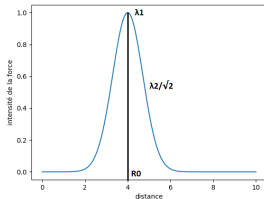


FIGURE –  $\lambda_1 = 1, \lambda_2 = 0.5, R_0 = 4$

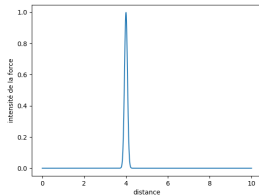


FIGURE –  $\lambda_1 = 1, \lambda_2 = 0.05, R_0 = 4$

- On prend  $\overrightarrow{F_{rep_A}} = 0$  pour une certaine distance et on stocke les positions dans un tableaux numpy<sup>5</sup>

- Programme en Annexe D
- Programme en Annexe D

# Simulation et commentaires

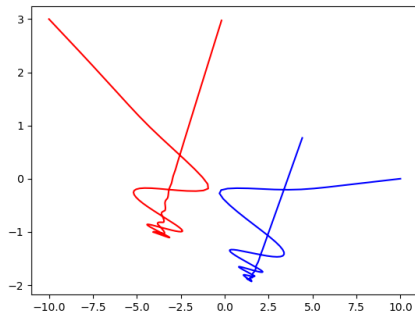


FIGURE –

$\lambda_1 = 0.05, \alpha = 0.05, \lambda_2 = 0.1, R_0 = 10$

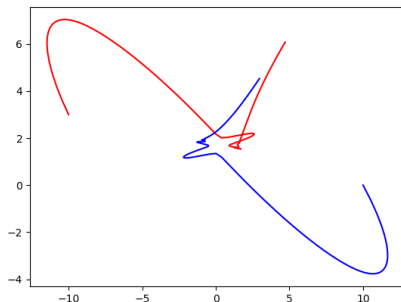


FIGURE –

$\lambda_1 = 0.05, \alpha = 0.05, \lambda_2 = 10, R_0 = 10$

- Alignement éloigné pour  $\lambda_2$  faible et rapproché pour  $\lambda_2 = 10$
- Le modèle des zones d'influences est respecté



# Simulation et commentaires

- Ajout d'un obstacle (poteau) représenté par une force de la forme<sup>6</sup> :

$$\overrightarrow{F_{poteau_A}}(t) = -\lambda_P \cdot \frac{(\overrightarrow{P_{poteau}} - \overrightarrow{P_{A_t}})}{\|\overrightarrow{P_{poteau}} - \overrightarrow{P_{A_t}}\|^2}$$

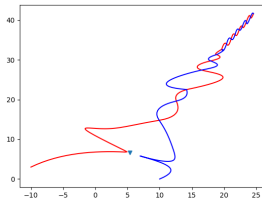


FIGURE –  $\lambda_P = 0.9$

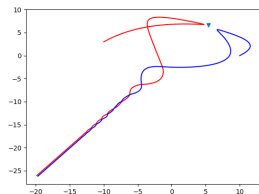


FIGURE –  $\lambda_P = 0.9$

- Déviation des deux Boids au voisinage de l'obstacle
- les deux boids finissent par se rejoindre

## 6. Programme en Annexe E

# Généralisation du modèle

- Soit  $i \in \{1, 2, \dots, n\}$ , le Boid  $i$  à la position  $P_i$  est soumis aux :
  - $n-1$  forces d'attractions des autres boids
  - $n-1$  forces de répulsion des autres boids
  - forces extérieurs (ex : poteau)
- Pour chaque boid  $i$  on a :

$$\vec{F}_i(t) = \sum_{j=1, j \neq i}^n \left[ \left( \lambda_1 \cdot e^{-\left( \frac{\|\vec{P}_j - \vec{P}_i\| - \frac{R_0}{2}}{\lambda_2} \right)^2} - \alpha \cdot \frac{4}{\|\vec{P}_j - \vec{P}_i\|} \right) \cdot \frac{\vec{P}_j - \vec{P}_i}{\|\vec{P}_j - \vec{P}_i\|} \right] + \vec{F}_{poteau_i}(t)$$

- Pour chaque Boid  $n-1$  calcule à réaliser à chaque itération (totale d'itération =  $m$ )
- Stockage des positions des Boids dans une matrice de dimension :  $[2 \times m \times n]^7$

# Simulations et commentaires

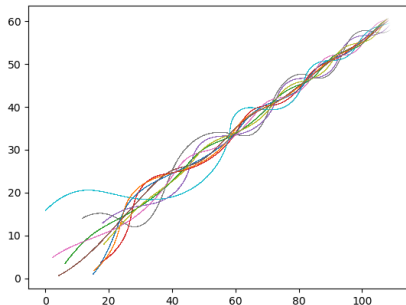


FIGURE –  $\lambda_p = 0$ , nbr= 10

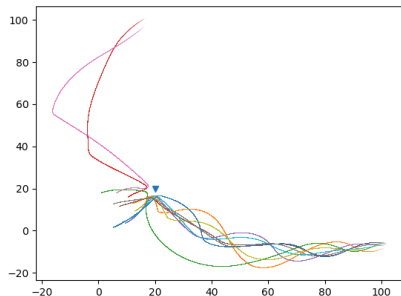


FIGURE –  $\lambda_p = 0.9$ , nbr =10

- les trois lois sont respectées
- l'obstacle peut causer la création de plusieurs groupes
- Les Boids gardent une seule direction après un temps suffisamment long

# Amélioration de la visualisation

- Etablissement d'un modèle 3D : 
$$\begin{pmatrix} x \\ y \\ z \end{pmatrix} = \begin{pmatrix} \sin(\theta)\cos(\Phi) \\ \sin(\theta)\sin(\Phi) \\ \cos(\theta) \end{pmatrix}$$
- Ajout d'une vitesse de direction aléatoire à la vitesse vers laquelle les boids tendent<sup>8</sup>

# Simulations et commentaires

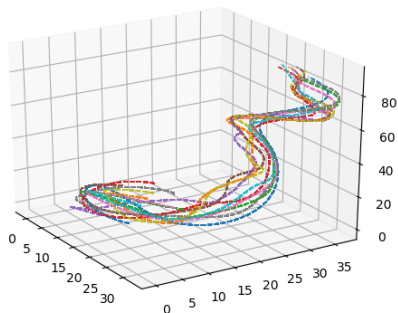


FIGURE –  $\lambda_p = 0$ , nbr = 10

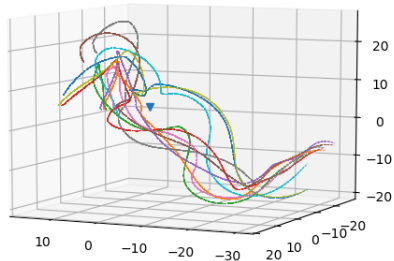


FIGURE –  $\lambda_p = 0.9$ , nbr = 10

- Le modèle le plus réaliste du Modèle Physique